

КООРДИНАЦИОННЫЕ  
СОЕДИНЕНИЯ

УДК 546.224-31:547.233.11

СИНТЕЗ И СТРОЕНИЕ СУЛЬФАТА МЕТИЛАММОНИЯ

© 2015 г. Р. Е. Хома\*, \*\*\*, В. О. Гельмбольдт\*\*\*, В. Н. Баумер\*\*\*,  
А. Н. Пузан\*\*\*, А. А. Эннан\*

\*Физико-химический институт защиты окружающей среды и человека

МОН Украины и НАН Украины, Одесса

\*\*Одесский национальный университет имени И.И. Мечникова, Украина

\*\*\*Одесский национальный медицинский университет, Украина

\*\*\*\*НТК “Институт монокристаллов” НАН Украины, Харьков

\*\*\*\*\*Харьковский национальный университет им. В.Н. Каразина, Украина

E-mail: rek@onu.edu.ua

Поступила в редакцию 05.03.2015 г.

Взаимодействие оксида серы(IV) с водным раствором метиламина приводит к получению “ониевого” сульфата состава  $(\text{CH}_3\text{NH}_3)_2\text{SO}_4$ , охарактеризованного данными РСА, ИК-, масс-спектрометрии. Структура сульфата стабилизирована системой Н-связей типа NH…O.

DOI: 10.7868/S0044457X15100104

Метиламин (**МА**) является реагентом в синтезе лекарственных средств, инсектицидов, фунгицидов, красителей, ракетных топлив [1]. Метиламмонийный катион входит в состав солей с анионами различных неорганических кислот. Структурно охарактеризованы хлорид [2], дигидратоборат [3], бромид [4], гидрат тримолибдата [5], нитрат [6], перхлорат [7] и гексафторосиликат [8] метиламмония. Хотя сульфат метиламмония является коммерческим продуктом (CAS 33689-83-7), однако его кристаллическая структура ранее не была изучена. Авторы [9] привели лишь кристаллографические параметры указанного соединения, отнесенного к пр. гр.  $P2_1/c$ .

В настоящей работе описаны результаты изучения строения и спектральных характеристик сульфата метиламмония  $(\text{CH}_3\text{NH}_3)_2\text{SO}_4$ , выделенного в качестве продукта взаимодействия оксида серы(IV) с водным раствором МА в присутствии кислорода воздуха.

ЭКСПЕРИМЕНТАЛЬНАЯ ЧАСТЬ

**Синтез сульфата метиламмония (I).** В термостатируемую ячейку заливали 20 мл 40%-ного водного раствора МА и пропускали через него газообразный  $\text{SO}_2$  при  $0^\circ\text{C}$  со скоростью 50 мл/мин до  $\text{pH} < 1.0$ . Полученный желтый маслообразный продукт выдерживали при  $t < 15^\circ\text{C}$  на воздухе до испарения воды. Выделенный бесцветный кристаллический продукт I (15.43 г, выход 83.4%) при температуре  $>20^\circ\text{C}$  превращается в ионную жидкость.

Содержание азота, углерода и водорода определяли с помощью элементного CHN-анализатора, серы – по Шенигеру [10]. ИК-спектры регистрировали на приборе Spectrum BX II FT-IR System (Perkin-Elmer) (диапазон 4000–650  $\text{cm}^{-1}$ , образцы – в жидкостной кювете из  $\text{BaF}_2$ ); масс-спектры EI – на приборе MX-1321 (прямой ввод образца в источник, энергия ионизирующих электронов 70 эВ).

PCA выполнен на дифрактометре Xcalibur 3 (Oxford Diffraction Ltd), ( $\text{MoK}_\alpha$ -излучение, графитовый монохроматор, CCD-детектор Sapphire-3). Расшифровка и уточнение структуры проведены с использованием комплекса программ SHELX-97 [11]. Атомы водорода найдены из разностного синтеза Фурье и уточнены в изотропном приближении с общей тепловой поправкой.

Основные кристаллографические данные и результаты уточнения по структуре I:  $\text{C}_2\text{H}_{12}\text{N}_2\text{O}_4\text{S}$ , моноклинная,  $M_r = 160.20$ , пр. гр.  $P2_1/c$ ,  $a = 13.1442(7)$ ,  $b = 8.8370(5)$ ,  $c = 13.5906(8)$  Å,  $\beta = 113.154(7)^\circ$ ,  $V = 1451.46(14)$  Å $^3$  при  $T = 293(2)$  К,  $Z = 8$ ,  $\rho = 1.466 \text{ г}/\text{см}^3$ ,  $F_{000} = 688$ , кристалл  $0.40 \times 0.30 \times 0.2$  мм,  $\mu = 0.403 \text{ мм}^{-1}$  ( $\lambda(\text{MoK}_\alpha) = 0.71073$  Å), коэффициенты пропускания  $T_{\min}/T_{\max} = 0.2953/0.9237$ ;  $-12 \leq h \leq 17$ ,  $-11 \leq k \leq 11$ ,  $-17 \leq l \leq 17$ ; ф-сканирование при  $2.94^\circ \leq \theta \leq 27.50^\circ$ , 6392 измеренных отражений, из которых 3283 независимых ( $R_{\text{int}} = 0.0248$ ) и 2380 наблюдаемых с  $I_{hkl} > 2\sigma(I)$ , полнота охвата 98.6%; полноматричное уточнение 237 параметров по  $F^2$ : окончательные показатели достоверности по наблюдаемым отражениям:

**Таблица 1.** Координаты атомов ( $\times 10^4$ ) и эквивалентные тепловые поправки ( $\text{\AA}^2 \times 10^3$ ) в структуре I

Атом	$x/a$	$y/b$	$z/c$	$U_{\text{экв}}$
S(1)	10781(1)	2616(1)	4222(1)	34(1)
S(2)	5645(1)	2658(1)	4153(1)	38(1)
O(1)	11060(1)	1914(1)	5282(1)	47(1)
O(2)	11459(1)	1930(2)	3709(1)	58(1)
O(3)	11025(1)	4232(1)	4362(1)	60(1)
O(4)	9608(1)	2405(2)	3579(1)	63(1)
O(5)	4589(1)	1893(2)	3897(1)	63(1)
O(6)	6229(1)	2024(2)	3531(1)	62(1)
O(7)	5436(1)	4257(2)	3890(1)	79(1)
O(8)	6329(1)	2494(2)	5288(1)	65(1)
N(1)	11199(1)	4287(2)	6754(1)	43(1)
N(2)	8470(1)	1211(2)	4823(1)	44(1)
N(3)	6929(1)	-581(2)	1141(1)	45(1)
N(4)	5156(1)	1291(2)	6475(1)	50(1)
C(1)	12297(2)	4963(3)	7028(2)	61(1)
C(2)	8902(2)	1791(2)	5926(2)	53(1)
C(3)	7482(2)	29(3)	2208(2)	61(1)
C(4)	4018(2)	1873(3)	6083(2)	61(1)
H(1A)	11123(16)	3850(20)	7316(17)	72(1)
H(1B)	10685(16)	4990(20)	6499(16)	72(1)
H(1C)	11057(17)	3560(20)	6292(17)	72(1)
H(2A)	8859(17)	1650(20)	4496(16)	72(1)
H(2B)	7785(18)	1440(20)	4457(16)	72(1)
H(2C)	8556(17)	180(30)	4790(16)	72(1)
H(3A)	7365(18)	-1070(20)	983(17)	72(1)
H(3B)	6607(17)	130(30)	674(16)	72(1)
H(3C)	6433(17)	-1300(20)	1067(16)	72(1)
H(4A)	5487(18)	1680(20)	6118(17)	72(1)
H(4B)	5570(17)	1700(20)	7184(17)	72(1)
H(4C)	5193(16)	260(20)	6462(16)	72(1)
H(1D)	12362(17)	5300(20)	6398(17)	72(1)
H(1E)	12836(17)	4280(20)	7440(17)	72(1)
H(1F)	12397(17)	5700(30)	7451(17)	72(1)
H(2D)	8867(17)	2890(30)	5948(17)	72(1)
H(2E)	8445(18)	1470(30)	6198(17)	72(1)
H(2F)	9630(18)	1350(20)	6240(17)	72(1)
H(3D)	7951(17)	700(30)	2248(17)	72(1)
H(3E)	7748(17)	-720(30)	2693(17)	72(1)
H(3F)	6993(17)	460(20)	2422(16)	72(1)
H(4D)	4016(18)	2980(30)	6147(18)	72(1)
H(4E)	3689(18)	1550(20)	6499(17)	72(1)
H(4F)	3564(17)	1510(20)	5434(17)	72(1)

$R_F = 0.0394$ ,  $wR^2 = 0.1035$  ( $R_F = 0.0582$ ,  $wR^2 = 0.1165$  по всем независимым отражениям),  $S = 0.941$ ,  $\Delta\rho_{\min}/\Delta\rho_{\max} = -0.251/0.362 \text{ э/}\text{\AA}^3$ .

## РЕЗУЛЬТАТЫ И ИХ ОБСУЖДЕНИЕ

Состав соединения I установлен по данным элементного анализа.

	C	N	S	H
Найдено, %:	14.81;	17.42;	19.73;	7.62.
Для $\text{C}_2\text{H}_{12}\text{N}_2\text{O}_4\text{S}$				
вычислено, %:	15.00;	17.49;	20.03;	7.55.

Масс-спектр EI I:  $[\text{M} + \text{H}]^+$  ( $m/z = 32$ ,  $I = 15\%$ );  $[\text{M}]^+$  ( $m/z = 31$ ,  $I = 75\%$ );  $[\text{CH}_2=\text{NH}_2]^+$  ( $m/z = 30$ ,  $I = 100\%$ ). Характеристики продуктов фрагментации МА в масс-спектре I и табулированном масс-спектре МА [12] находятся в хорошем соответствии. В масс-спектре соединения I наблюдается характерная для 1-*n*-алкиламинов дефрагментация [13] с образованием иона  $[\text{CH}_2=\text{NH}_2]^+$ , пик которого имеет максимальную интенсивность.

Строение соединения I установлено методом РСА. Координаты атомов и эквивалентные тепловые поправки в структуре I даны в табл. 1. На рис. 1 показана схема нумерации атомов и эллипсоиды тепловых колебаний в независимой части ячейки. Длины связей и валентные углы, образуемые неводородными атомами в структуре, представлены в табл. 2. Как видно на рис. 1, в независимой части ячейки находятся четыре катиона  $\text{CH}_3\text{NH}_3^+$  и два иона  $\text{SO}_4^{2-}$ . При упаковке этих базисных единиц в кристаллической структуре образуются водородные связи, характеристики которых даны в табл. 3. Все атомы водорода аммонийных групп участвуют в образовании водородных связей с атомами кислорода сульфат-ионов. Каждая из аммонийных групп атомов N<sub>1</sub>, N<sub>2</sub>, N<sub>3</sub>, N<sub>4</sub> образует водородные связи с тремя ближайшими сульфат-ионами, при этом одна из таких связей, образованных аммонийной группой атома N<sub>3</sub>, является “вилочной” (табл. 3). Система водородных связей, наблюдавшаяся в структуре I, является трехмерной, как видно из рис. 2.

Результаты анализа ИК-спектра I приведены в табл. 4. Отнесение колебаний метиламмония проведено с использованием данных [14–18]. Широкая полоса в ИК-спектре с четко выраженным тремя максимумами в области 3380–3000  $\text{cm}^{-1}$  связана с колебаниями  $\nu(\text{NH}_3^+)$  катиона метиламмония. Происхождение сложной полосы с максимумами при 2597, 2506, 2360 и 2342  $\text{cm}^{-1}$  объясняется, по-видимому, также наличием колебаний  $\nu(\text{NH}_3^+)$  (3000–2000  $\text{cm}^{-1}$ ). В интервале частот 1600–1460  $\text{cm}^{-1}$

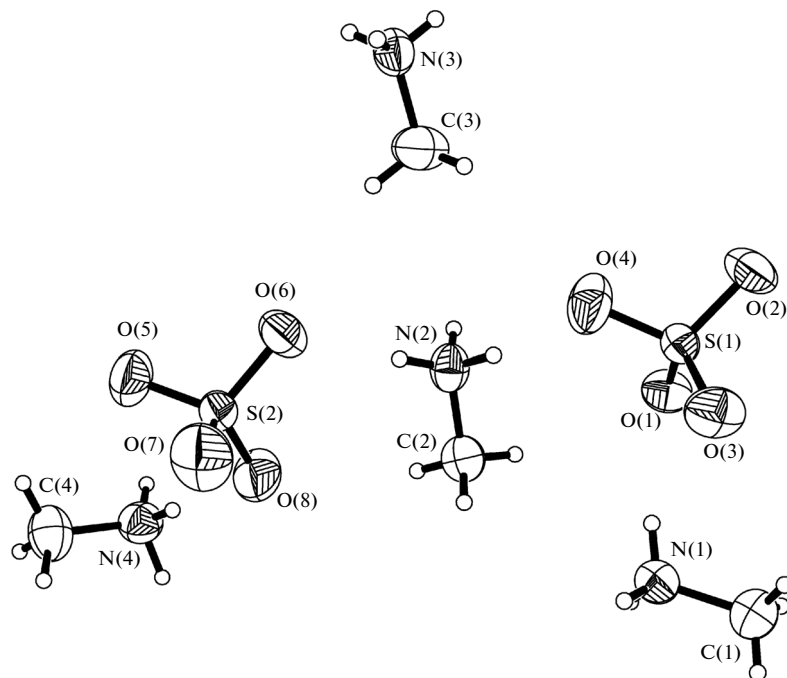


Рис. 1. Схема нумерации атомов и эллипсоиды тепловых колебаний в структуре I (уровень вероятности 50%).

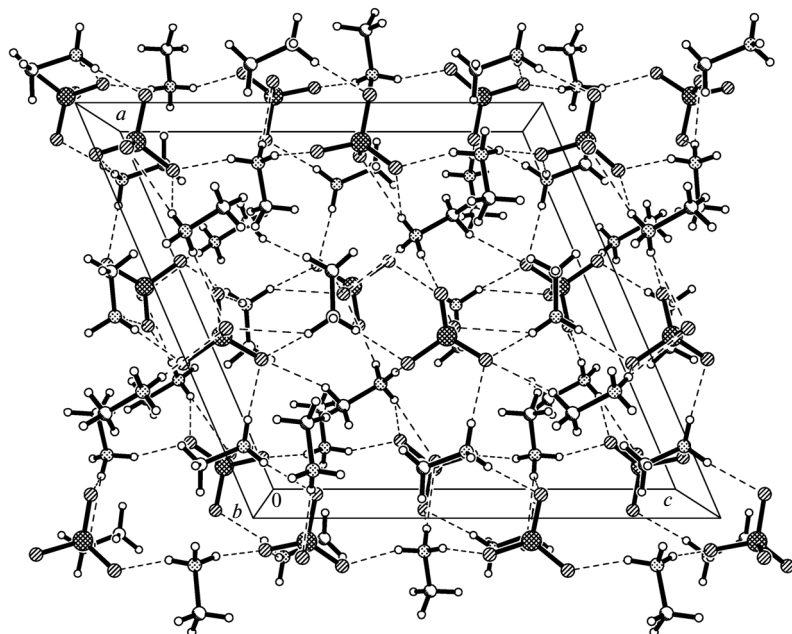


Рис. 2. Кристаллическая упаковка и система водородных связей в структуре I. Водородные связи изображены штриховыми линиями.

наблюдаются две интенсивные полосы при  $1635$  и  $1521\text{ см}^{-1}$ , которые, очевидно, относятся к характерным для этой области ножничным деформационным колебаниям  $\text{NH}_3^+$ -групп. Крутильные деформационные колебания аммонийных

групп  $\tau(\text{NH}_3^+)$  идентифицированы в виде малоинтенсивных полос при  $1276$  и  $1239\text{ см}^{-1}$ .

Валентные колебания  $\nu(\text{N}-\text{CH}_3)$  проявляются при  $2879$  и  $2783\text{ см}^{-1}$ , а ножничные деформационные  $\delta(\text{N}-\text{CH}_3)$  – при  $1466$  и  $1424\text{ см}^{-1}$ .

**Таблица 2.** Длины связей и валентные углы в структуре I

Связь	<i>d</i> , Å	Связь	<i>d</i> , Å	Связь	<i>d</i> , Å
S(1)–O(4)	1.4540(13)	S(2)–O(8)	1.4556(13)	N(1)–C(1)	1.469(2)
S(1)–O(3)	1.4601(13)	S(2)–O(7)	1.4569(15)	N(2)–C(2)	1.471(2)
S(1)–O(2)	1.4621(13)	S(2)–O(5)	1.4578(13)	N(3)–C(3)	1.448(3)
S(1)–O(1)	1.4755(11)	S(2)–O(6)	1.4585(13)	N(4)–C(4)	1.469(2)
Угол	ω, град		Угол	ω, град	
O(4)S(1)O(3)	109.32(8)		O(8)S(2)O(7)	109.55(9)	
O(4)S(1)O(2)	111.16(8)		O(8)S(2)O(5)	109.88(8)	
O(3)S(1)O(2)	108.86(8)		O(7)S(2)O(5)	108.73(9)	
O(4)S(1)O(1)	109.33(8)		O(8)S(2)O(6)	109.24(8)	
O(3)S(1)O(1)	109.05(7)		O(7)S(2)O(6)	108.81(10)	
O(2)S(1)O(1)	109.10(7)		O(5)S(2)O(6)	110.61(9)	

**Таблица 3.** Характеристики водородных связей D–H...A в структуре I

Контакт D–H...A	Расстояние, Å			Угол DHA, град	Координаты атома A
	<i>d</i> (D–H)	<i>d</i> (H...A)	<i>d</i> (D...A)		
N(1)–H(1A)...O(2)	0.90(2)	1.90(2)	2.7607(19)	161.4(18)	<i>x</i> , <i>–y</i> + 1/2, <i>z</i> + 1/2
N(4)–H(4B)...O(6)	0.97(2)	2.03(2)	2.986(2)	167.1(18)	<i>x</i> , <i>–y</i> + 1/2, <i>z</i> + 1/2
N(4)–H(4B)...O(7)	0.97(2)	2.54(2)	3.193(2)	124.7(16)	<i>x</i> , <i>–y</i> + 1/2, <i>z</i> + 1/2
N(1)–H(1B)...O(3)	0.88(2)	2.20(2)	3.0112(19)	153.6(19)	– <i>x</i> + 2, – <i>y</i> + 1, – <i>z</i> + 1
N(1)–H(1B)...O(4)	0.88(2)	2.33(2)	3.082(2)	143.2(17)	– <i>x</i> + 2, – <i>y</i> + 1, – <i>z</i> + 1
N(1)–H(1C)...O(1)	0.86(2)	2.00(2)	2.8538(19)	168(2)	
N(2)–H(2A)...O(4)	0.89(2)	1.98(2)	2.864(2)	170.8(19)	
N(2)–H(2B)...O(6)	0.86(2)	2.00(2)	2.8651(18)	176(2)	
N(2)–H(2C)...O(1)	0.92(2)	1.93(2)	2.8460(19)	171.8(19)	– <i>x</i> + 2, – <i>y</i> , – <i>z</i> + 1
N(3)–H(3A)...O(2)	0.81(2)	2.28(2)	3.005(2)	150(2)	– <i>x</i> + 2, <i>y</i> – 1/2, – <i>z</i> + 1/2
N(3)–H(3A)...O(3)	0.81(2)	2.36(2)	3.029(2)	141.1(19)	– <i>x</i> + 2, <i>y</i> – 1/2, – <i>z</i> + 1/2
N(3)–H(3B)...O(8)	0.87(2)	2.16(2)	2.948(2)	149.3(19)	<i>x</i> , <i>–y</i> + 1/2, <i>z</i> – 1/2
N(3)–H(3B)...O(7)	0.87(2)	2.37(2)	3.139(2)	147.6(19)	<i>x</i> , <i>–y</i> + 1/2, <i>z</i> – 1/2
N(4)–H(4A)...O(8)	0.84(2)	2.00(2)	2.840(2)	177(2)	
N(4)–H(4C)...O(5)	0.91(2)	2.01(2)	2.901(2)	164.1(19)	– <i>x</i> + 1, <i>–y</i> , – <i>z</i> + 1

Полоса при 969 см<sup>–1</sup> может быть отнесена к смешанным валентно-деформационным колебаниям  $\nu_s(\text{SO}_4^{2-})$ ,  $\tau(\text{NH}_3^+)$  и  $\rho(\text{CH}_3)$ . Деформационные колебания  $\delta_{as}(\text{SO}_4^{2-})$  в ИК-спектре I регистрируются в сравнительно “открытой” части

спектра в виде полосы сильной (при 668 см<sup>–1</sup>) интенсивности.

Таким образом, продуктом взаимодействия в растворах  $\text{SO}_2\text{—CH}_3\text{NH}_2\text{—H}_2\text{O}\text{—O}_2$  является сульфат метиламмония  $(\text{CH}_3\text{NH}_3)_2\text{SO}_4$ , трехмерная структура которого стабилизирована системой Н-

**Таблица 4.** Волновые числа ( $\text{см}^{-1}$ ) максимумов полос поглощения в ИК-спектре I

ИК-спектр	Отнесение*
3372 ср.	
3263 ср.	
3023 с.	$\nu_{\text{as,s}}(\text{NH}_3^+)$
2879 с.	$\nu_{\text{as,s}}(\text{N}-\text{CH}_3)$ , $\nu(\text{NH}_3^+)$
2783 с.	
2597 ср.	
2506 сл.	
2360 ср.	
2342 сл.	$\nu(\text{NH}_3^+)$
1635 с.	$\delta_{\text{as}}(\text{NH}_3^+)$
1521 с.	$\delta_s(\text{NH}_3^+)$
1466 с.	$\delta_{\text{as}}(\text{N}-\text{CH}_3)$
1424 сл.	$\delta_s(\text{N}-\text{CH}_3)$
1276 сл.	$\tau(\text{NH}_3^+)$
1239 сл.	
1057 оч.с.	$\nu_{\text{as}}(\text{SO}_4^{2-})$ , $\nu(\text{CN}^+)$
969 с.	$\nu_s(\text{SO}_4^{2-})$ , $\rho(\text{CH}_3)$
668 с.	$\delta_{\text{as}}(\text{SO}_4^{2-})$

\* Деформационные:  $\delta$  – ножничные,  $\tau$  – крутильные;  $\rho$  – маятниковые.

связей типа  $\text{NH}\cdots\text{O}$  при участии всех атомов водорода “ониевого” катиона.

## СПИСОК ЛИТЕРАТУРЫ

- Химический энциклопедический словарь. М.: Советская энциклопедия, 1983. С. 328.
- Hughes E.W., Lipscomb W.N. // J. Am. Chem. Soc. 1946. V. 68. № 10. P.1970. DOI: 10.1021/ja01214a029.
- Zviedre I.I., Belyakov S.V. // Russ. J. Inorg. Chem. 2009. V. 54. № 9. P. 1390. DOI: 10.1134/S0036023609090083.
- Gabe E.J. // Acta Crystallogr. 1961. V. 14. № 12. P. 1296. DOI:10.1107/S0365110X6100382X.
- Włodarczyk-Gajda B., Rafalska-Łasocha A., Łasocha W. // Powder Diffraction. 2007. V. 22. № 3. P. 241. DOI: 10.1154/1.2770748
- Mylrajan M., Srinivasan T.K.K., Sreenivasamurthy G. // J. Cryst. Spectr. Res. 1985. V. 15. № 5. P. 493. DOI: 10.1007/BF01171052.
- Zanazzi P.F. // Acta Crystallogr. 1968. V. 24B. P. 499. DOI: 10.1107/S0567740868002724.
- Conley B.D., Yearwood B.C., Parkin S., Atwood D.A. // J. Fluor. Chem. 2002. V. 115. № 2. P. 155. DOI: 10.1016/S0022-1139(02)00046-5.
- Vilminot S., Cot L., Avinens C., Maurin M. // Mat. Res. Bull. 1971. V. 6. P. 189.
- Климова В.А. Основные методы анализа органических соединений. М.: Химия, 1975. 104 с.
- Sheldrick G.M. // Acta Crystallogr., Sect. A. 2008. V. 64. P. 112.
- <http://webbook.nist.gov/cgi/cbook.cgi?ID=C74895&Units=SI&Mask=200#Mass-Spec>.
- Вульфсон Н.С., Заикин В.Г., Микая А.И. Масс-спектрометрия органических соединений. М.: Химия, 1986. С. 128.
- Baek S.J., Choi K.-W., Choi Y.S., Kim S.K. // J. Chem. Phys. 2003. V. 118. № 24. P. 11040. DOI: 10.1063/1.1575735.
- Grossman S., Danielson N.D. // J. Chromatogr. A. 2009. V. 1216. № 16. P. 3578. DOI: 10.1016/j.chroma.2008.09.064.
- Преч Э., Бюльманн Ф., Аффольтер К. Определение строения органических соединений. Таблицы спектральных данных. Пер. с англ. М.: Мир; БИНом. Лаборатория знаний, 2006. 438 с.
- Тарасевич Б.Н. ИК-спектры основных классов органических соединений. Справочные материалы. М.: МГУ, 2012. 54 с.
- Накамото К. ИК-спектры и спектры КР неорганических и координационных соединений. М.: Мир, 1991. 536 с.